

(دریافت مقاله: ۱۳۸۷/۲/۲۸؛ دریافت نسخه نهایی: ۱۳۸۸/۹/۷)

c

ab

-d

بر خلاف ابررسانایی معمولی موج-d، در این نوع از ابررسانایی حالت‌های بین گافی دقیقاً در انرژی فرمی وجود دارد که ناشی از تغییر علامت پارامتر نظم ابررسانایی دمای بالا می‌باشد. در مراجع [۶و۵] آزمایش‌های گران قیمتی برای بررسی و اثبات تقارن موج-d در ابررساناهای دمای بالا انجام شده است و ما در این مقاله روش ساده‌تری را برای هدف مذکور پیشنهاد می‌دهیم.

هدف اصلی ما در این مقاله بررسی اثر ضریب عبور سد پتانسیل روی نمودارهای جریان بر حسب اختلاف فاز جوزفسون بین دو کپه ابررسانا با جهت‌گیری‌های متفاوت پارامتر نظم به شکل موج-d است. چون ساختن اتصال با ضریب عبور اختیاری به مراتب آسانتر از اتصال با ضریب عبور آیده‌آل است، ضریب عبور اختیاری را مورد مطالعه قرار

در سال‌های اخیر انتقال کوانتموی بار در اتصال بین ابررساناهای دمای بالا توجه زیادی را به خود جلب کرده است. معروف است که اثر ایزوتوپ برای ابررساناهای دمای بالا برقرار نیست و بنا بر این برهم‌کنش فونون-الکترون را نمی‌توان به عنوان عامل شکل‌گیری زوج‌های کوپر در ابررساناهای دمای بالا دانست [۱و۲]. علیرغم تلاش‌های زیاد تا به امروز مکانیسم تشکیل ابررسانایی دمای بالا هنوز شناخته شده نیست. یکی از مفاهیم کلیدی در فهم فیزیک ابررسانایی پارامتر نظم ابررسانایی است که در این مقاله به آن می‌پردازیم.

بلافاصله پس از کشف ابررسانایی دمای بالا [۳] تقارن موج-d برای پارامتر نظم ابررسانایی در فضای وارون تکانه به این نوع ابررسانایی نسبت داده شد [۴و۵]. مشاهده شده بود که

و Δ پارامتر نظم ابررسانایی، \bar{v}_F سرعت فرمی الکترون‌ها $f_\omega^+ = \pi T(2n + 1)$ بسامد ماتسوبیارا، T دمای سیستم، تابع f_ω همتای وارونی زمان تابع f_ω ، n یک عدد صحیح و \bar{r} بردار مکان الکترون‌ها می‌باشد. معادلات فوق همراه با شرط بهنجارش، $g_\omega = \sqrt{1 - f_\omega f_\omega^+}$ ، شرط مرزی برای اتصال و یک معادله خود سازگار حل می‌شوند. در تقریب خوبی که با نتایج آزمایشگاهی نیز مطابقت دارد از معادله خودسازگاری صرف نظر می‌کیم. شرط مرزی موجود در [۱۲] و [۱۳] که در [۱۳] توسط نویسنده این مقاله مورد بررسی مجدد قرار گرفته است سد پتانسیل تیغه عایق بین کپه‌های ابررسانا را توصیف می‌کند. این شرط مرزی مهم به شکل زیر نوشته می‌شود:

$$\left\{ \begin{array}{l} \hat{d}_{l,r} = \hat{G}_\omega(\vec{v}_F, \circ^\mp) - \hat{G}_\omega(\vec{v}'_F, \circ^\mp), \\ \hat{s}_{l,r} = \hat{G}_\omega(\vec{v}_F, \circ^\mp) + \hat{G}_\omega(\vec{v}'_F, \circ^\mp), \\ \hat{d}_l = \hat{d}_r = \hat{d}, \\ (\frac{D}{2-D})[(1+\frac{\hat{d}}{2})\hat{s}_r, \hat{s}_l] = \hat{d}(\hat{s}_l)^\mp. \end{array} \right. \quad (2)$$

در آن D ضریب عبور سد پتانسیل و \vec{v}'_F انعکاس یافته \vec{v}_F نسبت به مرز بین ابررساناهاست. ضمناً پارامتر نظم ابررسانایی در فواصل دور لایه عایق به شکل زیر است:

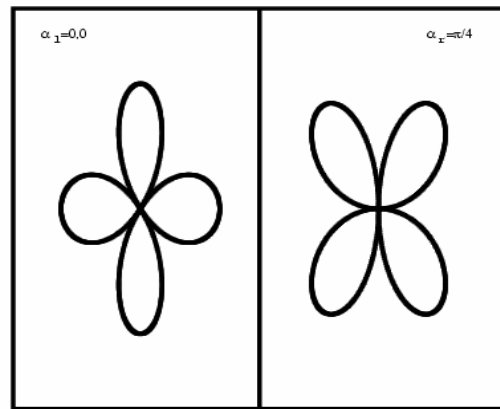
$$\Delta_{l,r} = \Delta_*(T) \text{Exp}(\mp i\Phi/2) \cos^2(\theta - \alpha_{l,r}), \quad (3)$$

که در آن Φ اختلاف فاز جوزفسون بین دو کپه ابررسانا، θ زاویه بردار سرعت فرمی نسبت به خط عمود بر لایه عایق، $\alpha_{l,r}$ زاویه پارامتر نظم نسبت به خط عمود و Δ_* وابستگی پارامتر نظم به دما را نشان می‌دهد. برای به دست آوردن چگالی جریان در تقریب شبیه کلاسیک از رابطه زیر استفاده می‌کنیم.

$$\vec{j}(0) = -4\pi ieTN_* \sum_{n=0}^{\infty} \langle \vec{v}_F g_\omega \rangle, \quad (4)$$

که در آن، $\langle \dots \rangle$ متوسط‌گیری روی همه جهت‌های سرعت در سطح فرمی و N_* چگالی حالت‌ها در سطح فرمی است (در این مقاله ثابت‌های پلانک و بولتزمان را یک فرض کرده‌ایم).

ابتدا تابع گرین مناسب را به صورت تحلیلی دست آورده‌ایم



شکل ۱. اتصال جوزفسون بین دو ابررسانای دمای بالا با پارامتر نظم موج-d. پارامتر نظم بلور سمت راست به اندازه $\frac{\pi}{4}$ نسبت به بلور سمت چپ حول محور موازی سطح تماس چرخیده است. صفحه YBaCuO موج-d صفحه قرار گرفتن اکسید مس در یک ابررسانا مثل است. لایه عایق بین دو ابررسانا و موازی با محور c دو بلور قرار گرفته است.

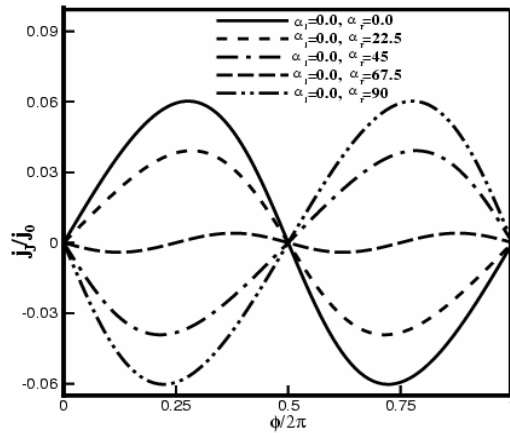
می‌دهیم (شکل ۱). این ساختار می‌تواند به عنوان یک بلوک مهم در ساخت دستگاه تداخل سنج کواتسومی ابررسانا، SQUID، به کار رود. دستگاه اخیر در اندازه‌گیری شار مغناطیسی استفاده می‌شود و کاربردهای فراوانی دارد [۷]. در قسمت باقیمانده این مقاله ابتدا فرمولیندی ریاضی مورد نظر را معرفی کرده و تابع گرین مربوطه را به صورت دقیق و تحلیلی محاسبه می‌کنیم. در قسمت بعد نتایج محاسبات عددی در نمودارهای جریان-فاز نشان داده می‌شوند و در پایان نتیجه گیری کوتاهی خواهیم داشت.

برای بررسی ساختار مورد نظر معادلات شبیه کلاسیک آیلنبرگر که از معادلات دایسون استخراج می‌شوند [۱۰ و ۹] را حل می‌کنیم. معادلات آیلنبرگر برای ابررسانای دمای بالا به شکل زیر می‌باشد.

$$\vec{v}_F \nabla \hat{G}_\omega(\vec{v}_F, \vec{r}) + [\omega \hat{\tau}_3 + \hat{\Delta}(\vec{v}_F, \vec{r}), \hat{G}_\omega(\vec{v}_F, \vec{r})] = 0 \quad (1)$$

که در آن رابطه،

$$\hat{G}_\omega(\vec{v}_F, \vec{r}) = \begin{pmatrix} g_\omega & f_\omega \\ f_\omega^+ & -g_\omega \end{pmatrix}, \quad \hat{\Delta} = \begin{pmatrix} \circ & \Delta \\ \Delta^+ & \circ \end{pmatrix}$$



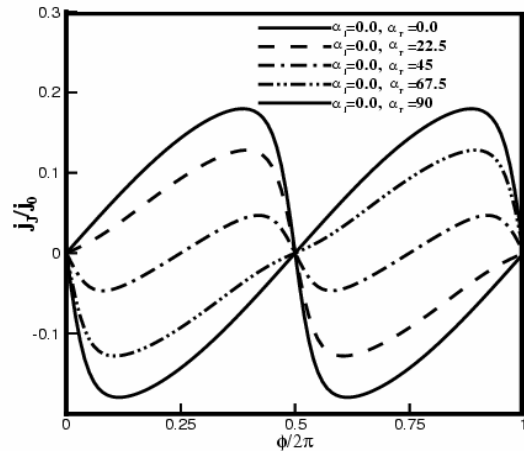
شکل ۳. نمودار جریان جوزفسون بر حسب اختلاف فاز برای $T/T_c = 0/1$ ، $D = 0/5$ و زوایای چرخش مختلف.

$$j_J(T \rightarrow 0) = \frac{\pi e v_F N_e \Delta(0) D \sin \Phi}{\sqrt{1 - D(\sin \Phi / 2)^2}}.$$

به علاوه در مورد ضریب عبور پایین بین دو ابررسانای دمای بالا که حد تونل زنی نامیده می‌شود نتیجه زیر را به دست آوریم که قبلاً در مرجع [۱۵] به دست آمده بود:

$$j_J(D \rightarrow 0) = \sum_{n=0}^{\infty} \left\langle \frac{4\pi e T N_e \eta \vec{v}_F D \Delta_I \Delta_r \sin \Phi}{2 \Omega_I \Omega_r} \right\rangle. \quad (6)$$

حال نتایج تحلیلی بالا را برای ترسیم نمودارهای جریان-فاز به کار می‌گیریم. در شکل ۲ نمودار جریان جوزفسون بر حسب اختلاف فاز را برای دمای پایین ($T/T_c = 0/1$) و ضریب عبور بالا $D = 0/99$ و برای زوایای چرخش مختلف در بلور سمت راست شکل ۱ رسم کرده‌ایم. مشاهده می‌شود که این نمودار با نمودار سینوسی معروف جوزفسون متفاوت می‌باشد. این نمودار غیر سینوسی بودن نتیجه جمله کسینوسی در مخرج تابع گرین جدید است. همچنین این نمودار در حالت بدون چرخش نمایش پارامتر نظم موج-d استفاده نمود. از طرف دیگر در مورد ضریب عبور بینایینی $D = 0/5$ در شکل ۳ مشاهده می‌شود که نمودارها به حالت سینوسی نزدیک می‌شوند و این به دلیل کاهش سهم جمله کسینوس در مخرج کسر است. چگالی جریان تابع غیر



شکل ۲. نمودار جریان جوزفسون عبوری از سد پتانسیل عمود بر سطح تماس بر حسب اختلاف فاز بین دو انباره ابررسانا برای ضریب عبور بالای $D = 0/99$ ، دمای $T/T_c = 0/1$ ، $D = 0/5$ و زوایای چرخش مختلف (ج. $j_e = 4\pi e N_e v_F T_c$).

به طوری که شرط مرزی، شرط بهنجارش و معادلات آیلنبرگر را ارضا کند. سپس چگالی جریان جوزفسون عمود بر سطح دقیقاً در سطح تماس بین دو ابررسانا را محاسبه کرده‌ایم که به شکل زیر است:

$$j_J = \sum_{n=0}^{\infty} \left\langle \frac{4\pi e T N_e v_F |\cos \theta| \Delta_I \Delta_r \sin \Phi}{|\Delta_I| |\Delta_r| \cos \Phi + \omega^2 + \frac{\gamma - D}{D} \Omega_I \Omega_r} \right\rangle, \quad (5)$$

که در آن $\Omega_{I,r} = \sqrt{\omega^2 + |\Delta_{I,r}|^2}$ بار الکترون و θ زاویه بین تکانه فرمی الکترون و خط عمود بر سطح است. در حالت اتصال بین دو ابررسانا معمولی موج-s که پارامتر نظم آنها به زاویه بستگی ندارد، $\Delta_I = \Delta_r = \Delta$ ، چگالی جریان را به دست می‌آوریم:

$$j_J = \frac{\pi e v_F N_e \Delta D \sin \Phi}{\sqrt{1 - D(\sin \Phi / 2)^2}} \operatorname{Tanh} \frac{\Delta \sqrt{1 - D(\sin \Phi / 2)^2}}{2T}.$$

لازم به ذکر است که در به دست آوردن رابطه فوق از اتحاد

$$\operatorname{Tanh} \frac{\pi x}{2} = \frac{4x}{\pi} \sum_{n=0}^{\infty} \frac{1}{x^2 + (2n+1)^2},$$

استفاده کرده‌ایم. در مورد کاملاً شفاف $D = 1$ به نتایج موجود در [۱۴] می‌رسیم. همچنین در دماهای پایین و بالا داریم:

$$j_J(T \rightarrow T_c) = \frac{\pi e v_F N_e \Delta^2 D \sin \Phi}{2T_c},$$

بلور محل صفر شدن جریان، جایه‌جا می‌شود یعنی پارامتر نظم ابررسانای دمای بالا اثرات مغناطیسی مثل اختلاف فاز جوزفسون دارد. مشاهده شده است که با افزایش زاویه چرخش از $\alpha_r = \pi/2$ تا $\alpha_r = \pi$ نمودار جریان-فاز از $\sin(\Phi + \pi)$ به $\sin(\Phi)$ تغییر می‌کند (شکل ۲) یا به عبارت دیگر می‌توان نوشت $j(\Phi + \pi) = j(\Phi, \alpha_r = \frac{\pi}{2})$. بنا بر این فاز جوزفسون، Φ ، ناشی از شار مغناطیسی به چرخش بلور ابررسانا، α_r ، مربوط می‌شود. این نتیجه ممکن است دلیلی بر شرکت اثرات مغناطیسی الکترونی در تشکیل جفت‌های کوپر در ابررساناهای با دمای گذار بالا باشد. همچنین مشاهده می‌شود که با کاهش ضریب عبور الکترونی لایه عایق، D ، شب منحنی جریان فاز در اختلاف فاز π که نمایش دهنده حساسیت SQUID برای اندازه‌گیری شار مغناطیسی می‌باشد [۱۶]، کاهش می‌یابد.

خطی از ضریب عبور و غیر سینوسی از اختلاف فاز می‌باشد. اما طبیعت غیر خطی و غیر سینوسی آن در حد تونل زنی یعنی در $D <> 1$ از بین می‌رود. اثر چرخش دو بلور نسبت به یکدیگر نیز در شکل‌های ۲ و ۳ مشاهده می‌شود. با افزایش زاویه از $\alpha_r = 0$ تا $\alpha_r = \pi/4$ نمودار جریان-فاز از $\sin(\Phi/2)$ به $\sin(\Phi)$ تغییر می‌کند که این مشخصه پارامتر نظم موج- d است. به علاوه مشاهده می‌شود که بیشینه مقدار جریان، j_c ، بر حسب ضریب عبور بر خلاف ابررسانای معمولی که با D متناسب است در اینجا با \sqrt{D} متناسب است.

در این مقاله نمودارهای جریان فاز مربوط به اتصال بین دو ابررسانای دمای بالا با شفافیت اختیاری را مطالعه کردایم. مشاهده می‌شود که نمودارها در ضریب عبور بالا غیر سینوسی و در حد تونل زنی سینوسی هستند. با تغییر زاویه

9. G Eilenberger; *Z. Phys.*, **214** (1968) 195.
10. J Serene and D Rainer; *Phys Rep.* **101** (1983) 221- 311.
11. A V Zaitsev; *JETP* **59** (1984) 1015.
12. W Belzig, F K Wilhelm, G Schön, C Bruder, and A D Zaikin; *Superlattices and Microstructures* **25** (1999) 1251.
13. G Rashedi; *Superlatt and Microstruct* **35** (2004) 155.
14. I O Kulik and A N Omelyanchouk; *Sov. J. Low Temp. Phys.*, **4** (1978) 142.
15. Yu S Barash, A V Galaktionov, A D Zaikin; *Phys. Rev. B* **52** (1995) 665.
16. Yu A Kolesnichenko, A N Omelyanchouk, S N Shevchenko,; *Phys. Rev. B* **67** (2003) 172504.

1. J Tanaka; *Physica C: Superconductivity* **412-414**, (2004) 166.
2. Guo-meng Zhao, H Keller and K ConderJ; *J. Phys.:Condens Mattter* **13** (2001) R569.
3. J G Bednorz and K A Muller; *Z. Phys. B* **64** (1986) 189.
4. C R Hu; *Phys. Rev. Lett.*, **72** (1994) 1526.
5. D J Van Harlingen; *Rev.Mod. Phys.* **67** (1995) 515.
6. V B Geshkenbein, A I Larkin and A Barone; *Phys. Rev. B* **36** (1987) 235.
7. J Clarke and A I Braginski; *The SQUID handbook* **1** 2nd Ed Wiley-Vch (2004).
8. M H S Amin, A N Omelyanchouk, S N Rashkeev, M Coury and A M Zagorskin; *Physica B* **318** (2002) 162.